

Si結晶のX線蜃気楼縞の測定 による歪勾配の決定

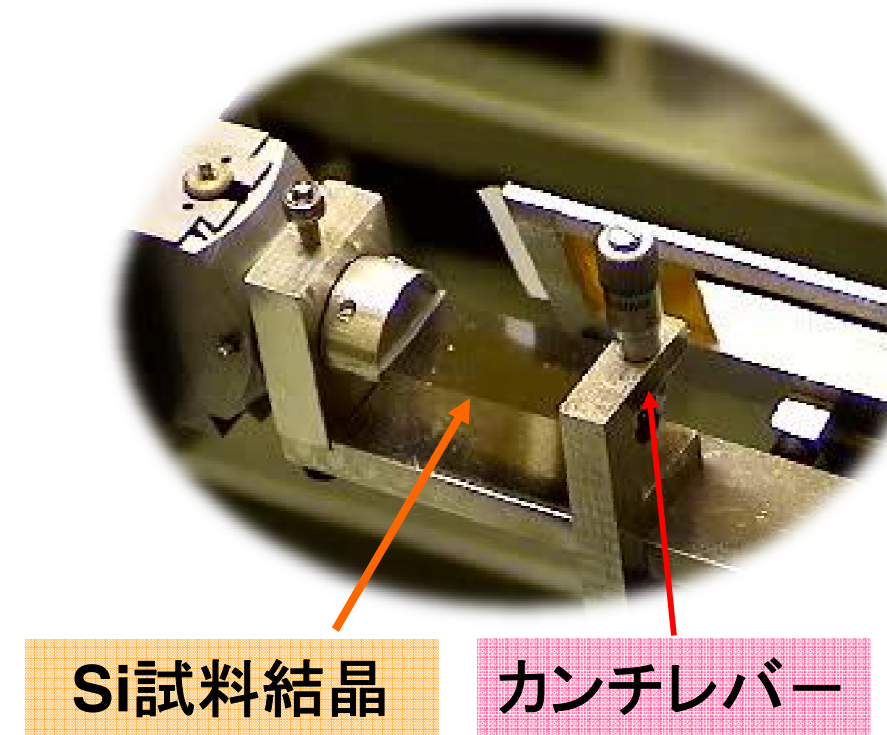
埼玉工大、KEK-PFA、山梨大学^B

Jongsukswat Sukswat、金松喜信、遠山将彦、
平野健二、深町共榮、根岸利一郎、巨東英、
下条推幸、平野馨一^A、川村隆明^B

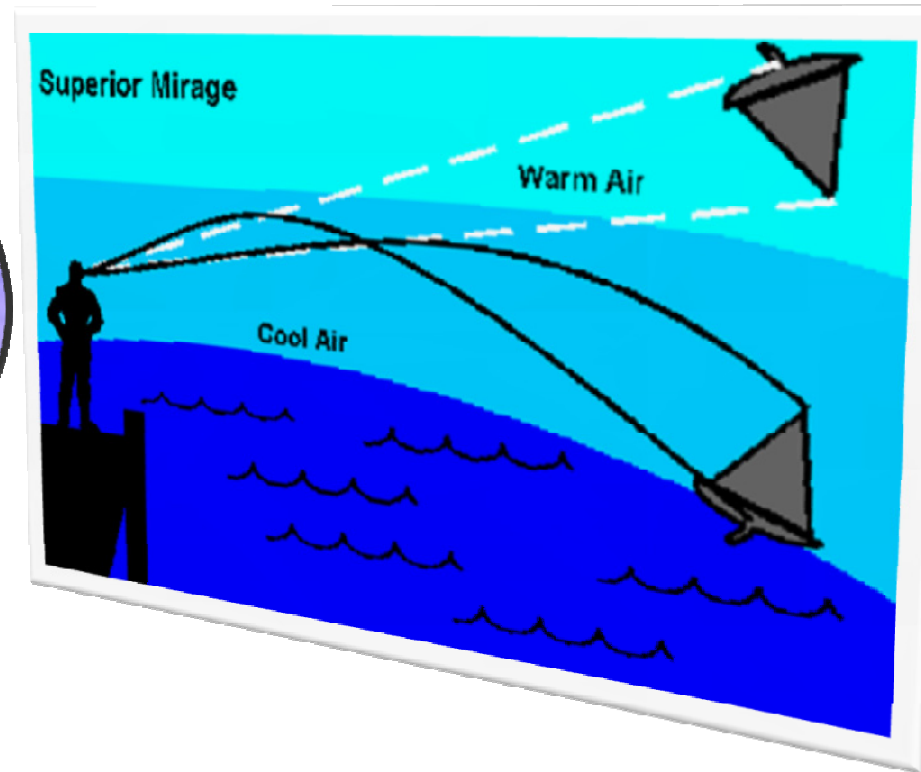
はじめに

私たちは、カンチレバーでSiの結晶を曲げ、干渉縞を観測し、片持ち支持の梁における歪勾配を表すパラメター β を求めた結果について報告。

- 蜃気楼効果
- 実験系
- 実験結果
- β 決定
- X線軌跡
- まとめ、考察

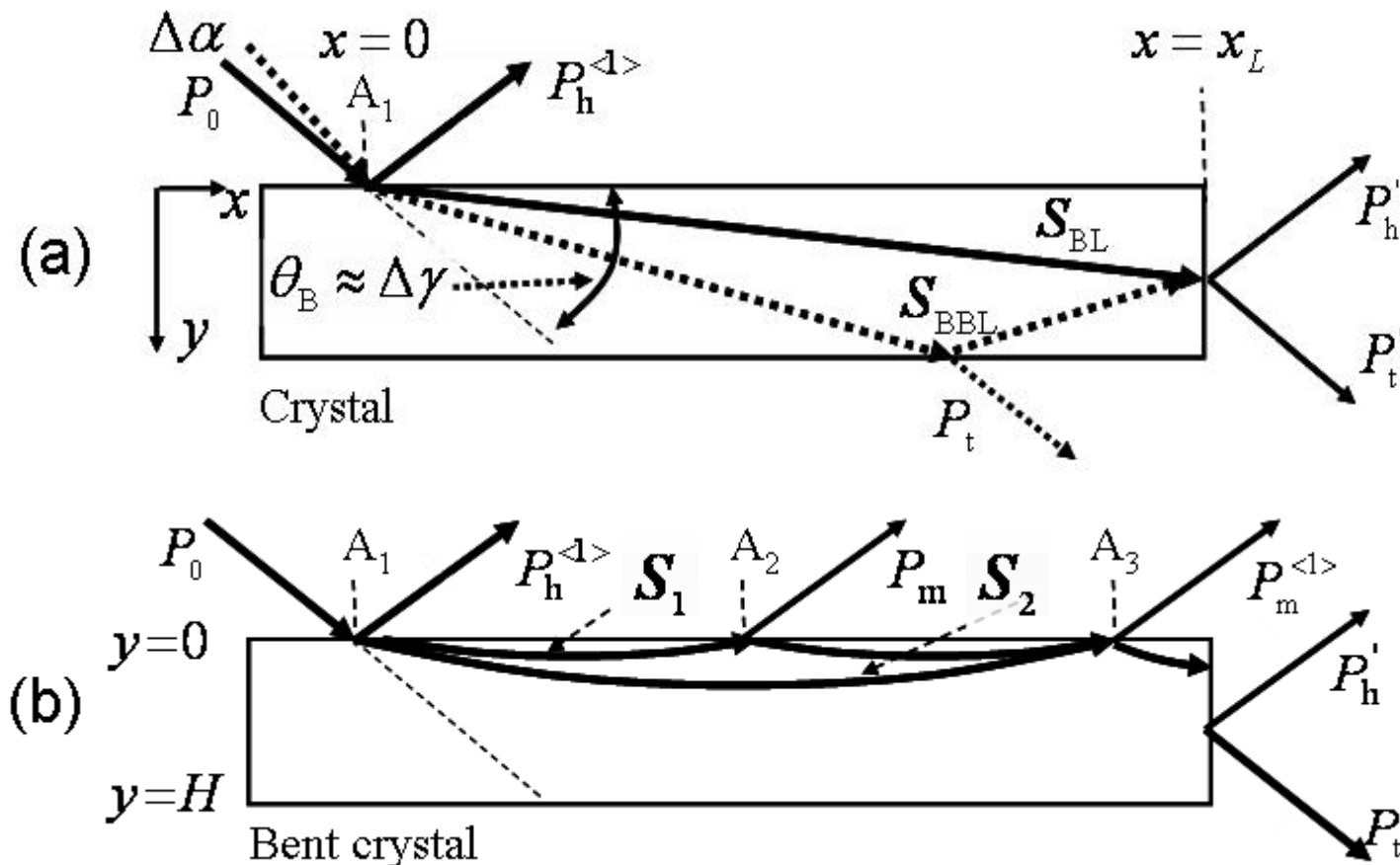


光蜃気楼効果

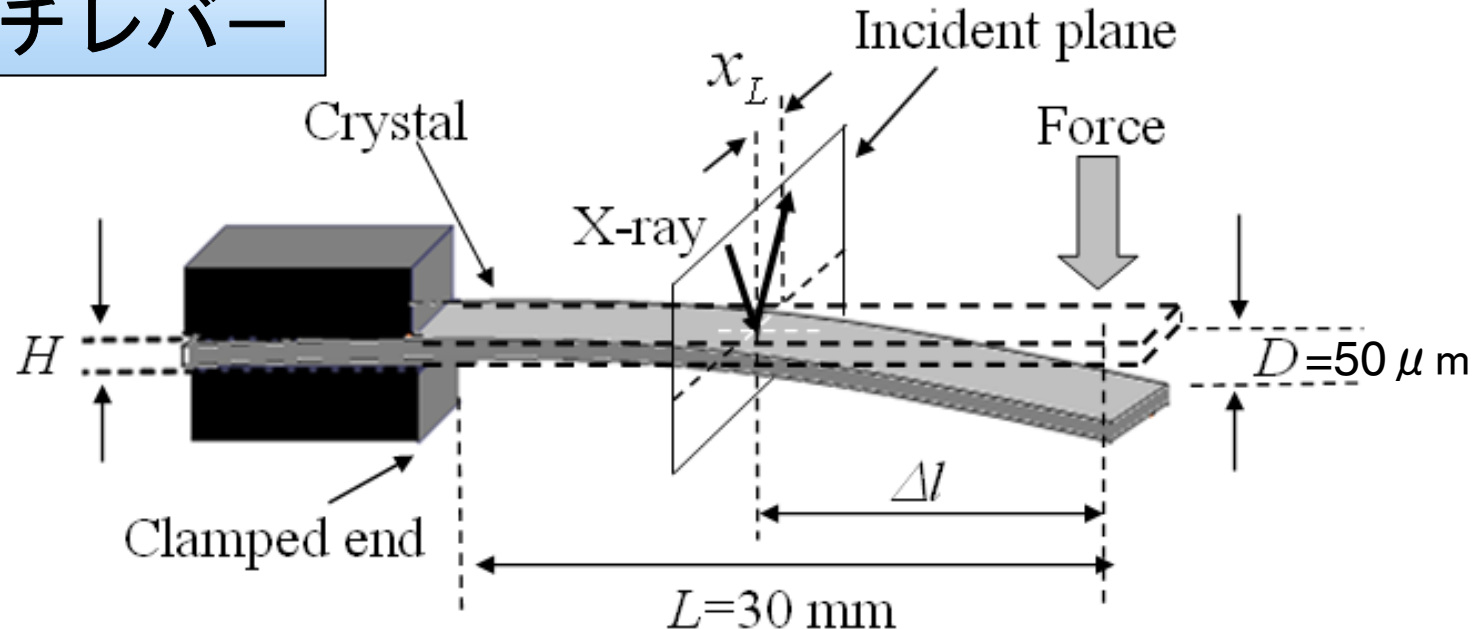


蜃気楼とは、密度の異なる大気中で光が屈折して起こる現象である。

X線蜃氣樓効果



カンチレバー



カンチレバーによる歪 ε

$$\varepsilon = \frac{d - d_0}{d_0} = \frac{3\nu D \Delta l}{L^3} \left(y - \frac{H}{2} \right)$$

$$\beta \propto \varepsilon' = \frac{3\nu D \Delta l}{L^3}$$

Siのサイズは、長さ40mm、幅10mm、厚さ0.1mm。

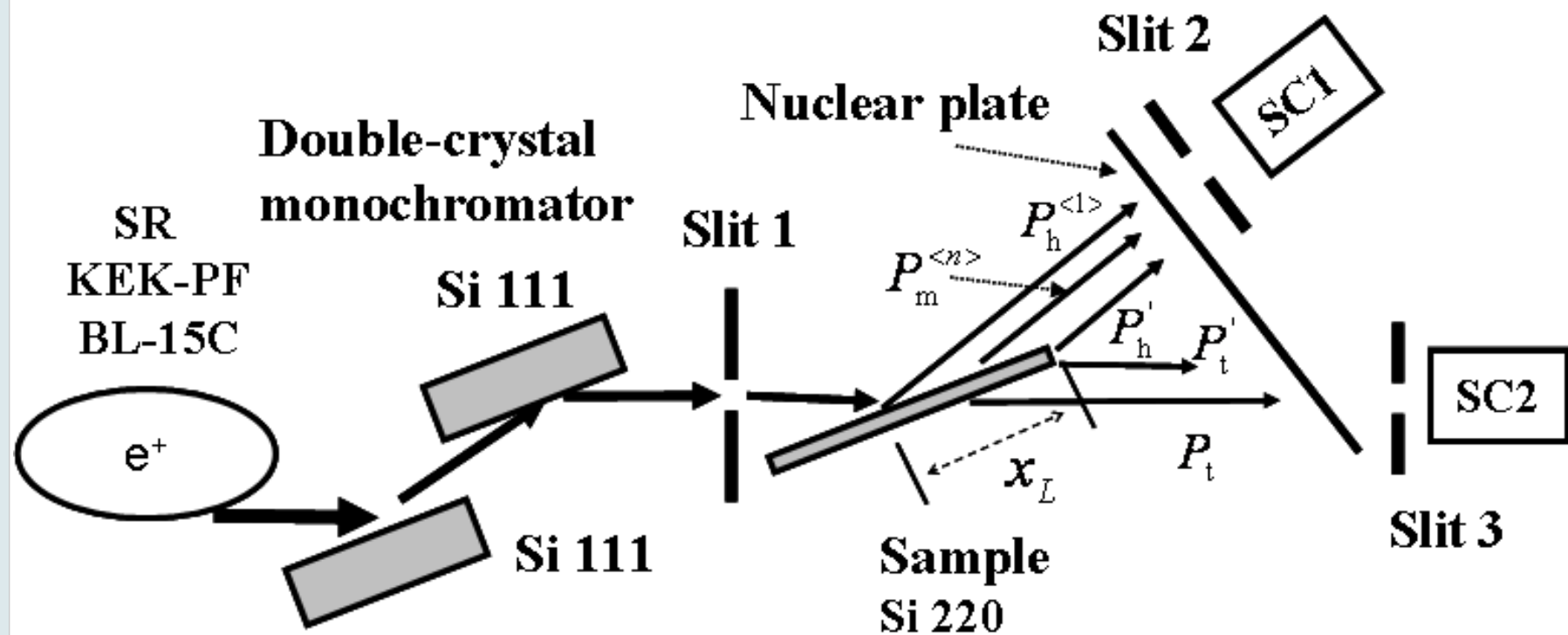
d は、面間隔、 ν は、Poisson比、

Δl 加圧位置から入射位置の間、

D は、カンチレバーの変位

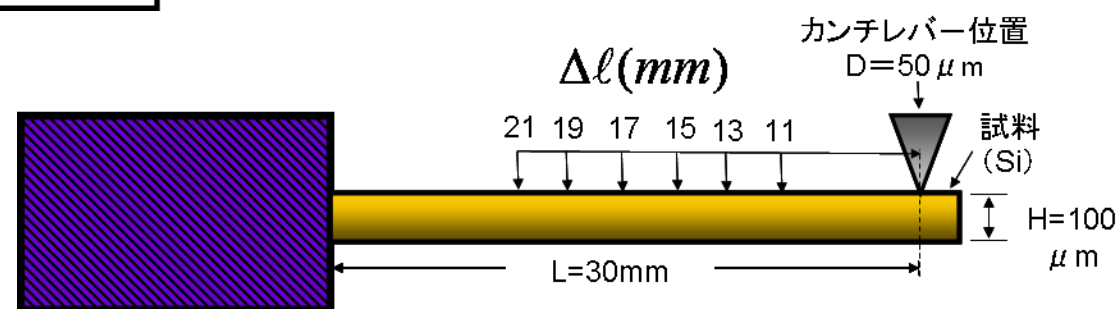
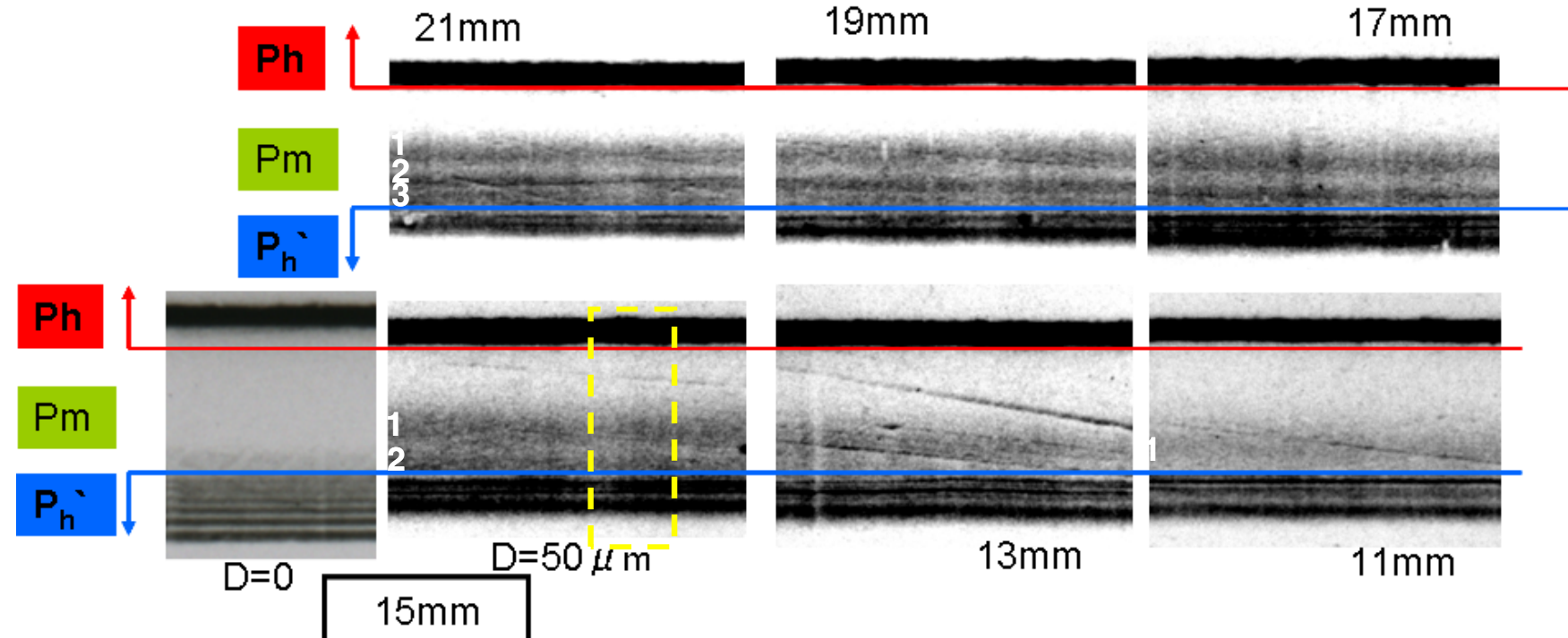
理論によると片持ち梁における β は Δl に比例する。当研究は β を蜃気楼干涉縞から求め、 β が Δl に比例する関係を検証した。

実験系



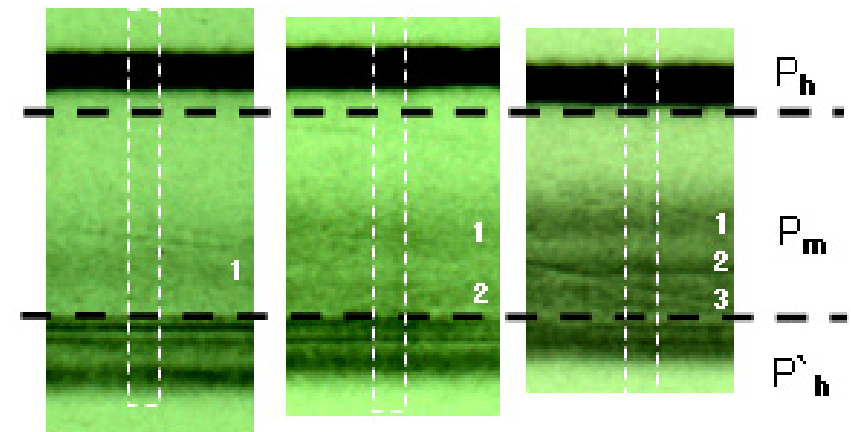
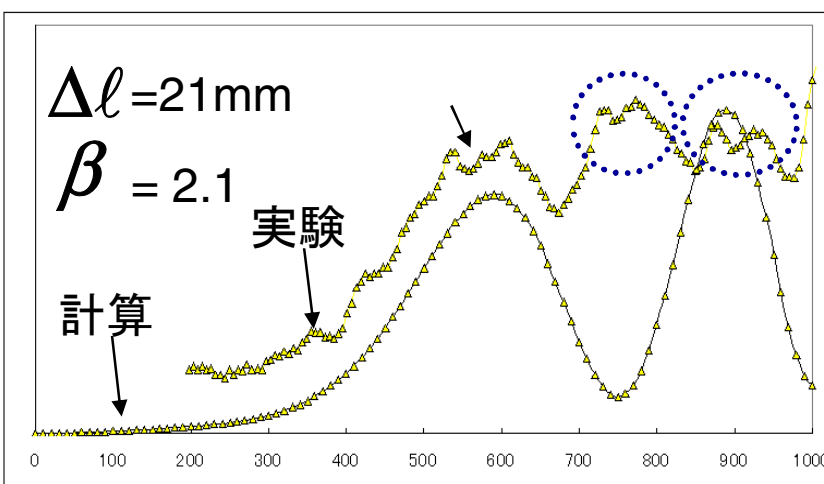
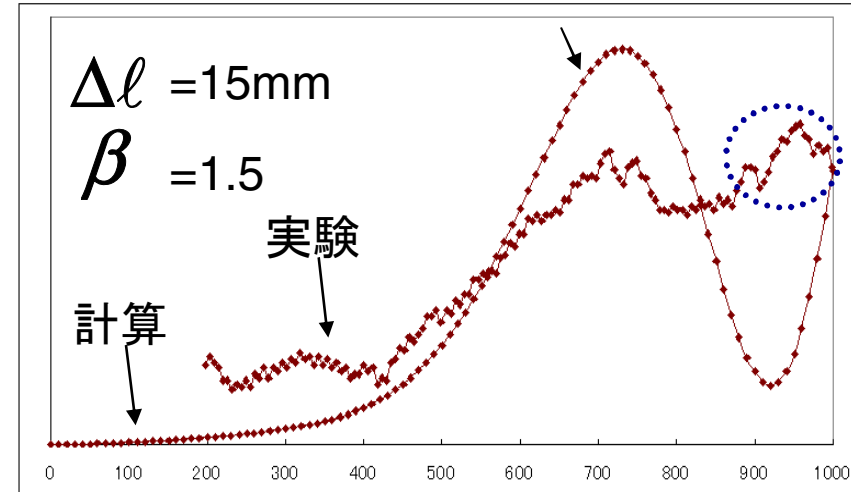
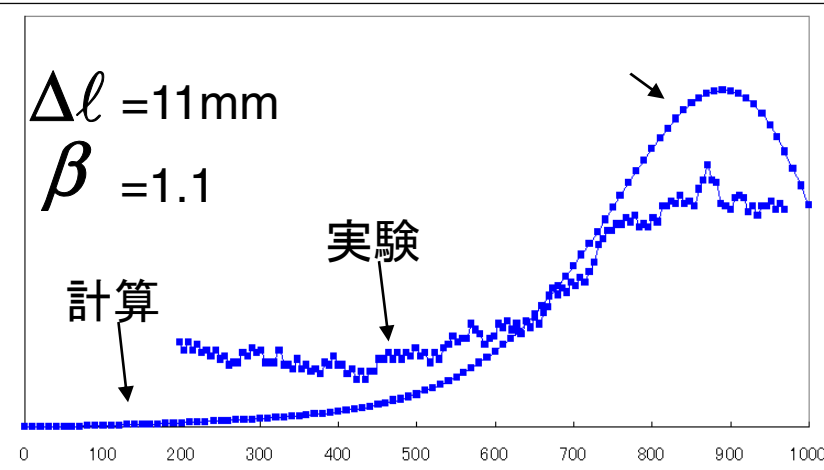
実験結果

$D=50 \mu m$



プロファイル

$$I = R_1^2(W_1) + R_2^2(W_2) + 2R_1(W_1)R_2(W_2)\cos[2\pi(\Delta\theta_x + \Delta\theta_y)]$$

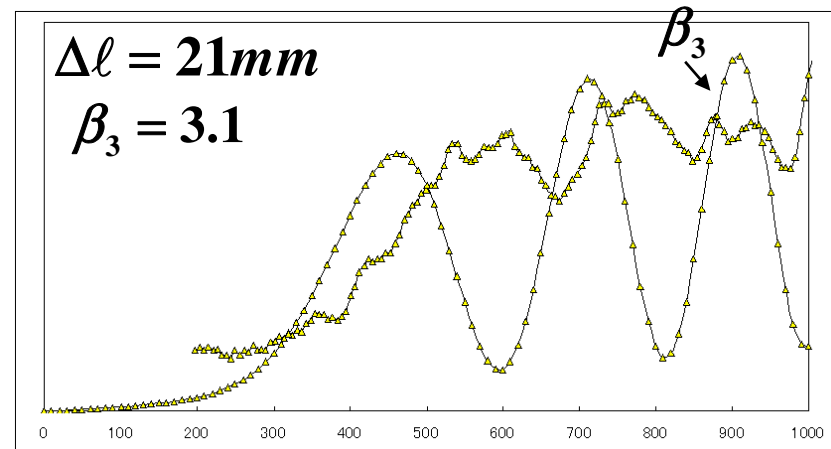
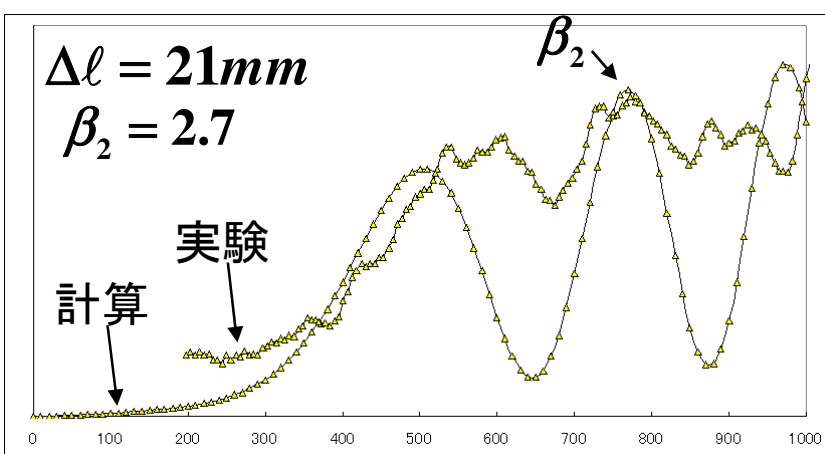
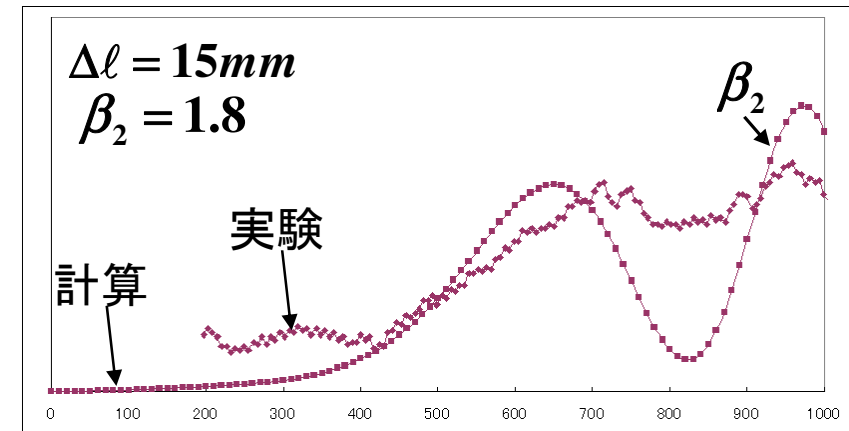


$\Delta\ell = 11\text{mm}$ 15mm 21mm

β の決定

$$I = R_1^2(W_1) + R_2^2(W_2) + 2R_1(W_1)R_2(W_2)\cos[2\pi(\Delta\theta_x + \Delta\theta_y)]$$

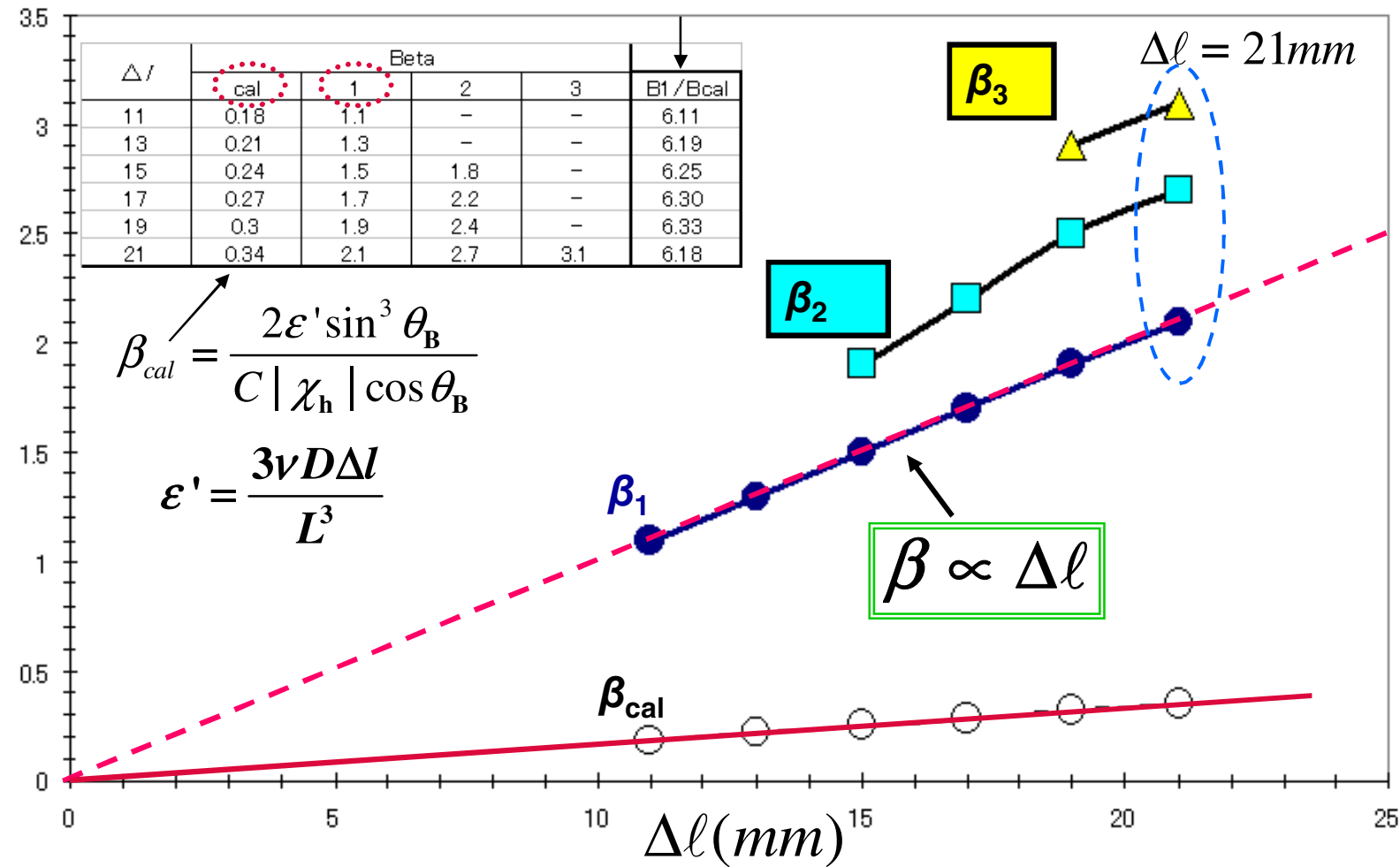
$\Delta\ell$	Beta		
	1	2	3
11	1.1	-	-
13	1.3	-	-
15	1.5	1.8	-
17	1.7	2.2	-
19	1.9	2.4	-
21	2.1	2.7	3.1



βの決定

** β_1 、 β_2 、 β_3 は、実験値。
 β_{cal} は、理論計算値。

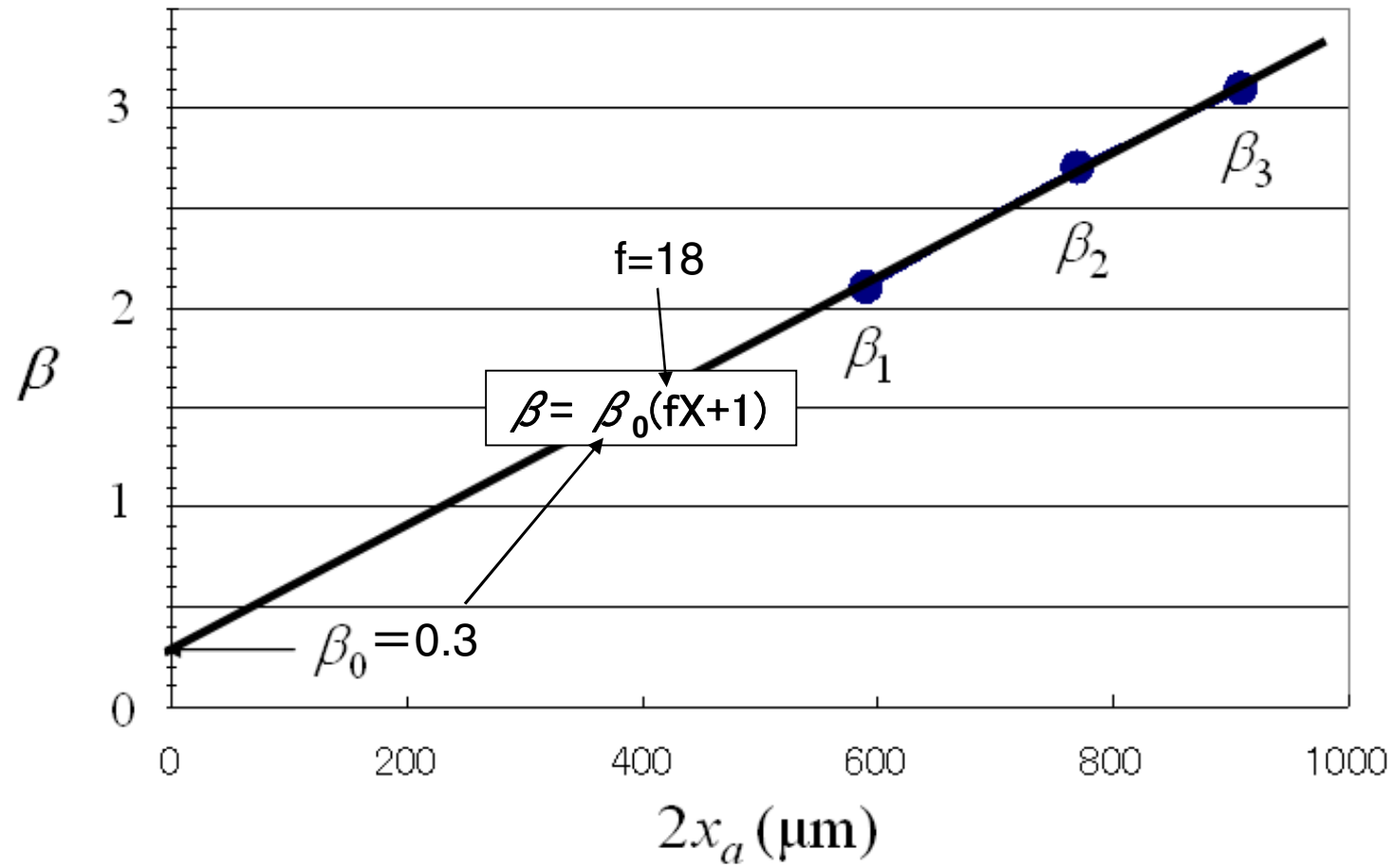
$$\beta(mm^{-1})$$



β の決定

(mm⁻¹)

$$\Delta\ell = 21\text{mm}$$



β の決定

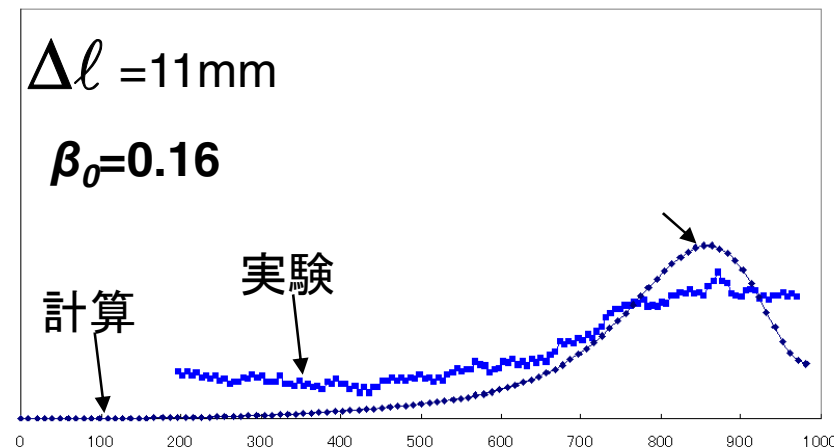
$$I = R_1^2(W_1) + R_2^2(W_2) + 2R_1(W_1)R_2(W_2)\cos[2\pi(\Delta\theta_x + \Delta\theta_y)]$$

$\Delta\ell = 11\text{mm}$

$\beta_0 = 0.16$

計算

実験

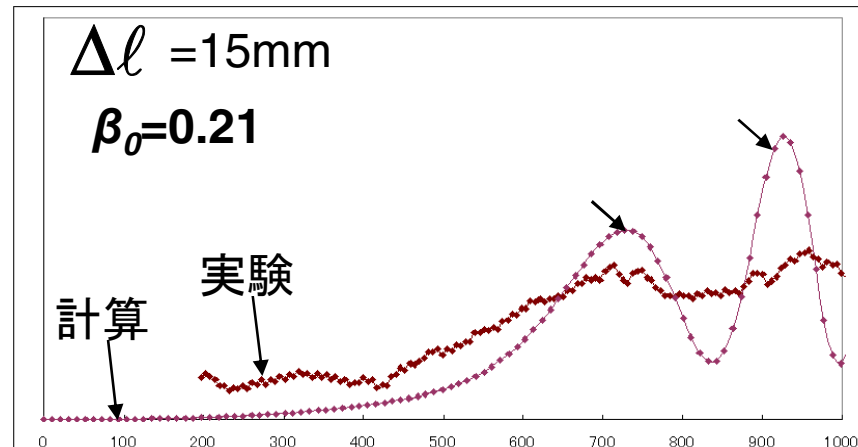


$\Delta\ell = 15\text{mm}$

$\beta_0 = 0.21$

計算

実験



$$\beta = \beta_0(fX+1)$$

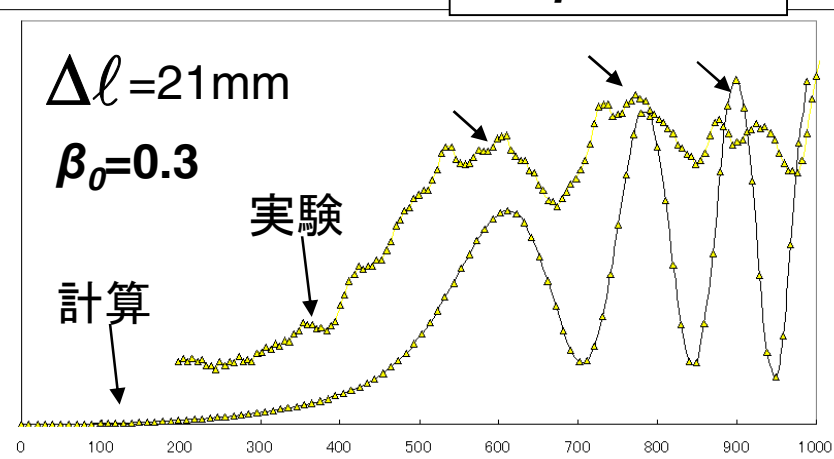
$f=18$

$\Delta\ell = 21\text{mm}$

$\beta_0 = 0.3$

計算

実験



ピーク位置

$\Delta\ell(\text{mm})$	$\beta_0(\text{mm}^{-1})$		$P_m^{<0} (\mu\text{m})$		$P_m^{>0} (\mu\text{m})$		$P_m^{>>} (\mu\text{m})$	
	obs	cal	obs	cal	obs	cal	obs	cal
11	0.16	0.18	880	860	-	-	-	-
13	0.19	0.21	800	830	-	-	-	-
15	0.21	0.24	730	740	960	925	-	-
17	0.24	0.27	650	690	870	865	-	-
19	0.27	0.3	625	635	825	805	941	923
21	0.3	0.34	590	620	780	790	920	899

β_0 β_{cal}

X線の軌跡

$$\left(\frac{\beta y}{\tan \theta_B} + W \right)^2 - \left[\beta x + (W^2 - 1)^{\frac{1}{2}} \right]^2 = 1$$

$$\beta = \beta_0 (fX + 1)$$

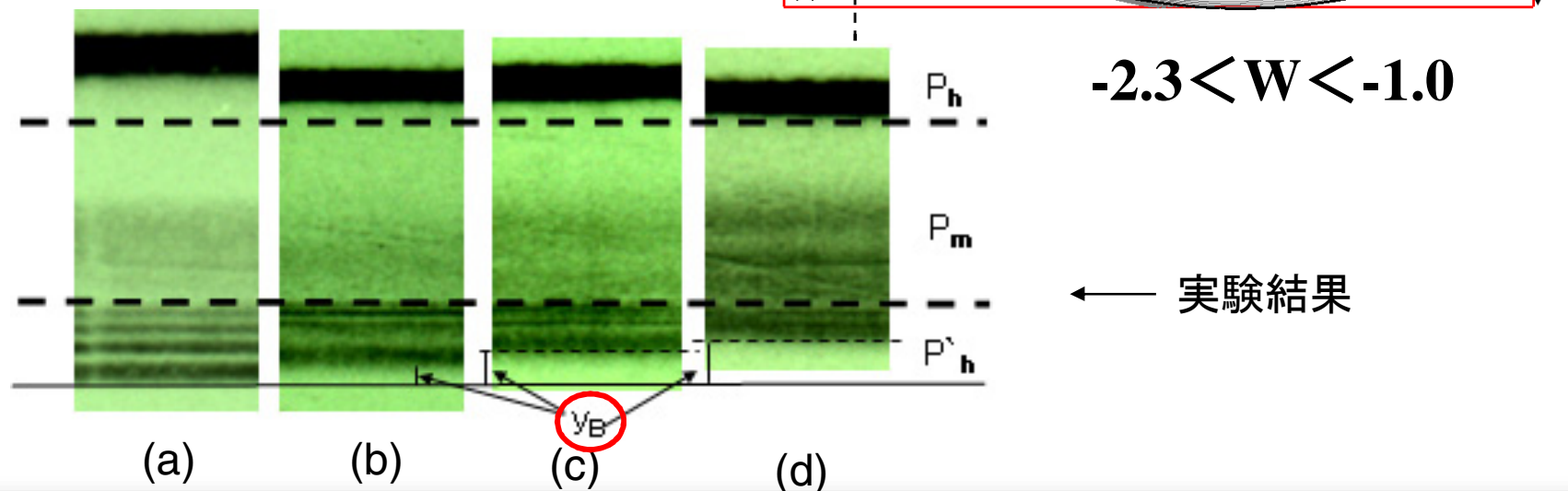
$$f=18$$

(a) $\beta=0$ (完全結晶)

(b) $\Delta\ell = 11\text{mm}$; $\beta_0=0.16$

(c) $\Delta\ell = 15\text{mm}$; $\beta_0=0.24$

(d) $\Delta\ell = 21\text{mm}$; $\beta_0=0.3$



まとめ

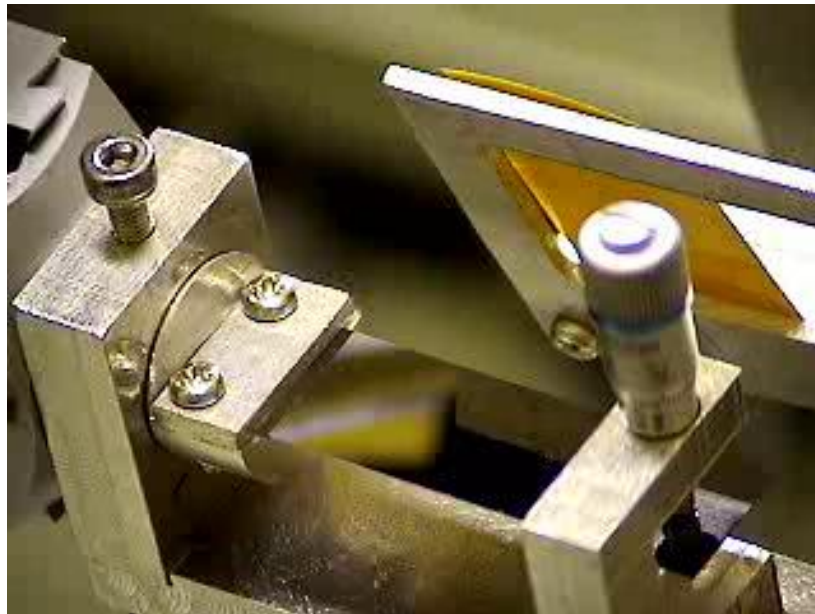
- ・歪勾配が一定な結晶において入射位置を変えてX線蜃気楼干渉縞を観測した。
- ・X線蜃気楼干渉縞の強度を求め、計算結果と測定結果の比較を行った。
- ・実験結果と計算結果から β を求め、その $\Delta\ell$ 依存性を調べた。その結果は、歪の式で予測されたとおり、 β は $\Delta\ell$ に比例した。
- ・決定した β は、実験によるダークエリアを再現することができた。

* β は、 $\Delta\ell$ に比例した。

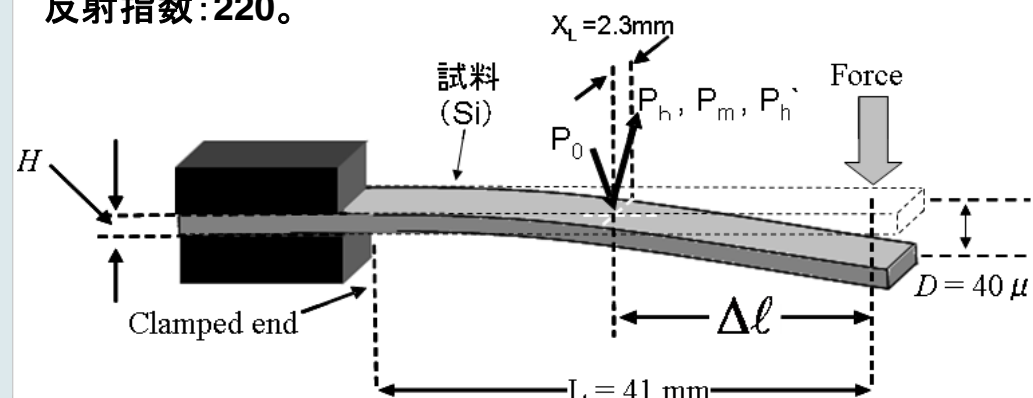
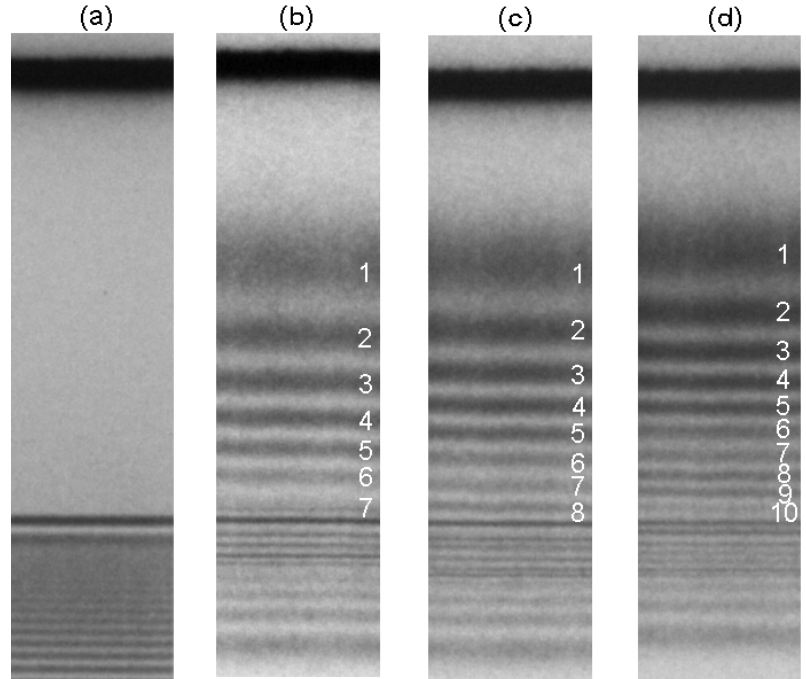
*決定した β は、実験結果を再現。

最近の実験結果

*試料表面加工は、無擾乱研磨。



試料: Siのサイズ: 長さ50mm、幅15mm、厚さ(H) 0.3mm
反射指数: 220。



- (a) は、完全結晶の場合。
(b) は、 $\Delta\ell=19\text{ mm}$; 載気樓縞7本。
(c) は、 $\Delta\ell=22\text{ mm}$; 載気樓縞8本。
(d) は、 $\Delta\ell=25\text{ mm}$; 載気樓縞10本。